

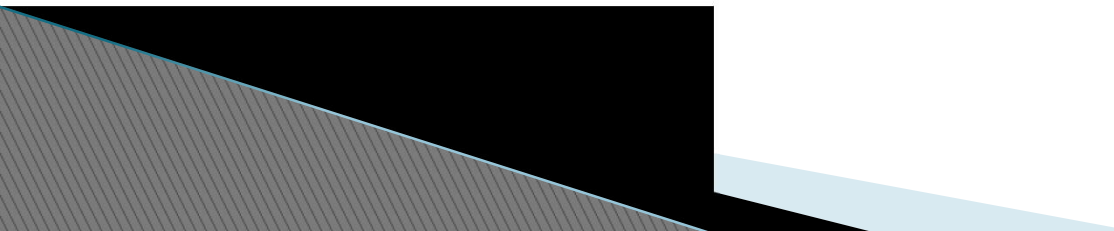
Міністерство освіти і науки України
Вінницький національний технічний університет
Кафедра галузевого машинобудування

**ПІДВИЩЕННЯ ЯКОСТІ ВІДНОВЛЕННЯ РОБОЧИХ
ПОВЕХОНЬ ВАЛ-ШЕСТЕРЕНЬ ШЛЯХОМ
КОМПЛЕКСНОГО ЛЕГУВАННЯ З ПЛАСТИЧНИМ
Д Е Ф О Р М У В А Н Н Я М**

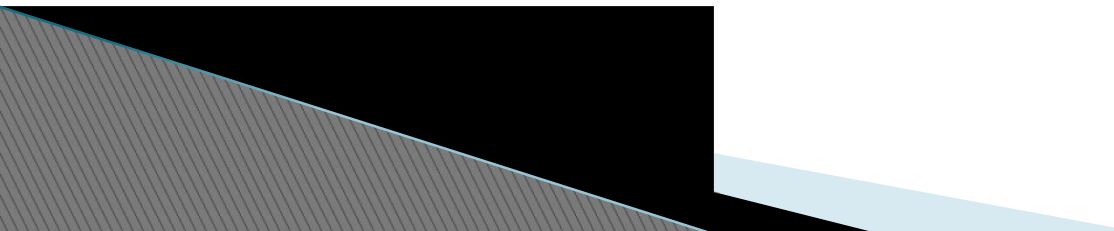
**Виконав: ст.гр. 13В-17м
Бучковський К.В.
Керівник: к.т.н., доц.
Шиліна О.П.**

ДОСЛІДЖЕННЯ НАПРАВЛЕНІ НА ПІДВИЩЕННЯ ЯКОСТІ ВІДНОВЛЕННЯ РОБОЧИХ ПОВЕРХОНЬ ВАЛ-ШЕСТЕРНІ

Метою роботи є підвищення якості відновлення робочих опорних поверхонь вал-шестерень шляхом комплексного легування та керуванням твердістю і стабільністю структури за рахунок деформаційного зміцнення та термічної обробки.



Науково-технічною задачею, яка вирішується в даній роботі, є:

1. Обґрунтувати вибір електродугового наплавлення в якості оптимального методу відновлення працездатності деталей типу вал на основі аналітичного огляду, показати ефективність його використання при відновленні.
 2. На основі аналізу деталей типу вал показати, що вони являються по кількості та конструктивній значущості визначальними в забезпеченні працездатності конструкцій машин.
 3. Удосконалити технологію ремонту деталей типу вал електродуговим напилавленням шляхом управління складом, структурою і властивостями наплавленого матеріалу після пластичного деформування та термічної обробки.
 4. Оптимізувати параметри електродугового наплавлення з урахуванням результатів експериментальних досліджень і математичного моделювання
- 

- Дослідження проводили на зразках зі Ст.3 ДСТУ 2651-94. Наплавлення проводили електродом марки ЦЛ-11 ГОСТ2246-70, діаметр електроду $d=3$ мм, на зварювальному струмі 65А та електродом АНО-36 (Е 46) ТМ CONTINENT ГОСТ 9466 діаметр $d=4$ мм, зварювальний струм 110 А.

Таблиця 1 - Хімічний склад електроду марки ЦЛ-11 ГОСТ2246-70

C	Si	Mn	S	P	Cr	Ni	Nb
0,5	0,77	2	0,004	0,022	19,07	8,8	0,75

Таблиця 2 - Хімічний склад електроду марки АНО-36 (Е 46) ТМ CONTINENT ГОСТ 9466

C	Mn	Si	P	S
0,11	0,65	0,35	0,035	0,030

Деформаційне зміцнення досліджувалось за допомогою твердомірів Бринелля і Роквелла. Спочатку вимірювалась вихідна твердість шару наплавленого металу HRC_{ϵ_0} , потім вимірювалась твердість у лунці відбитку від вдавнення сталеві кульки тведомера Бринелля.

Ступінь деформаційного зміцнення визначалась за формулою:

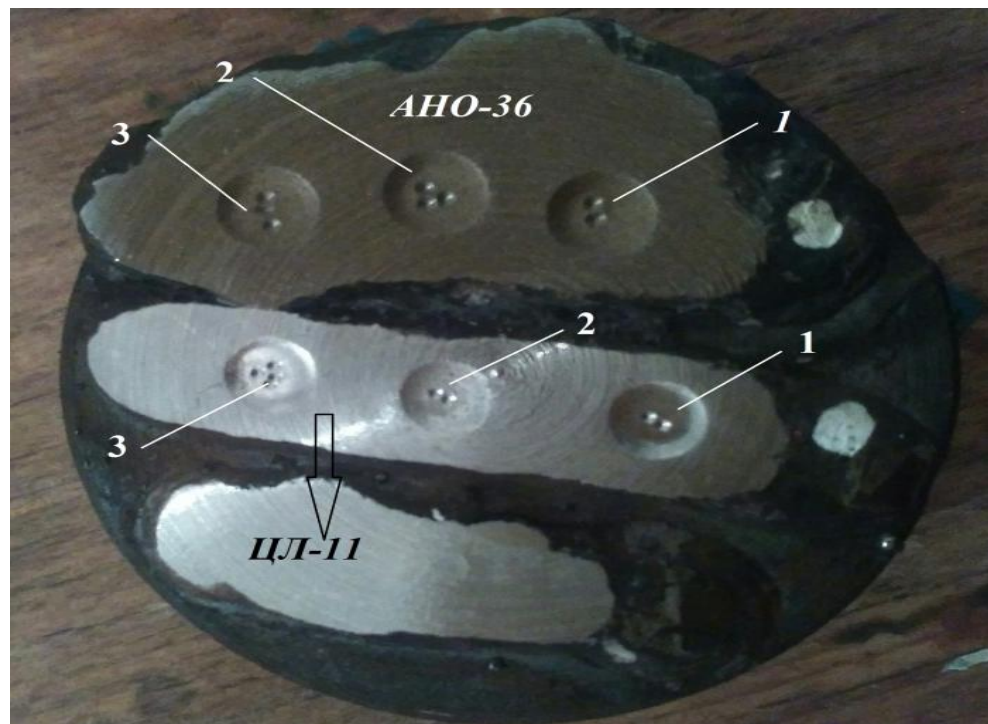
$$\Delta = \frac{(HRC_{3n} - HRC_{30})}{HRC_{30}} \cdot 100\%, \quad (1)$$

де Δ - ступінь деформаційного зміцнення наплавленого металу, %;

HRC_{3n} – твердість у лунці відбитка після «n» вдавнень сталеві кульки приладу Бринелля;

а HRC_{30} – твердість за твердоміром Роквелла.

Наплавлений зразок



1 – одне вдавлювання

2 – два вдавлювання

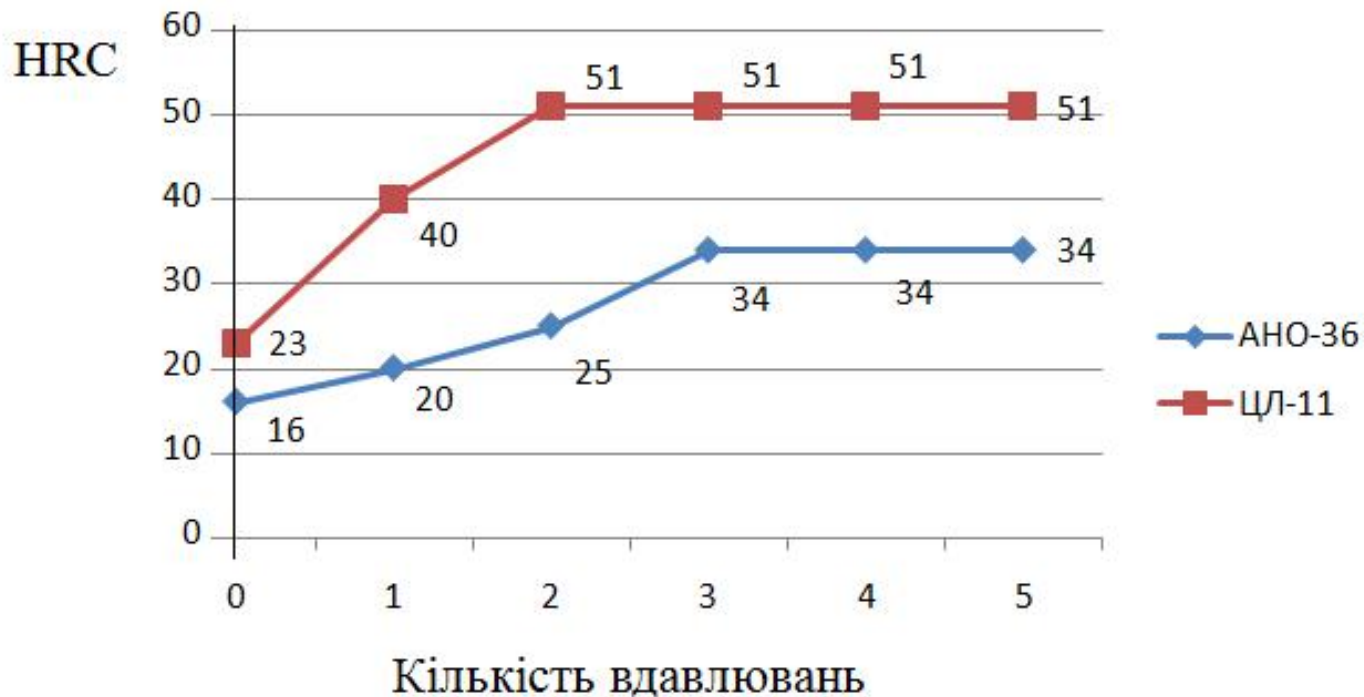
3 – три вдавлювання

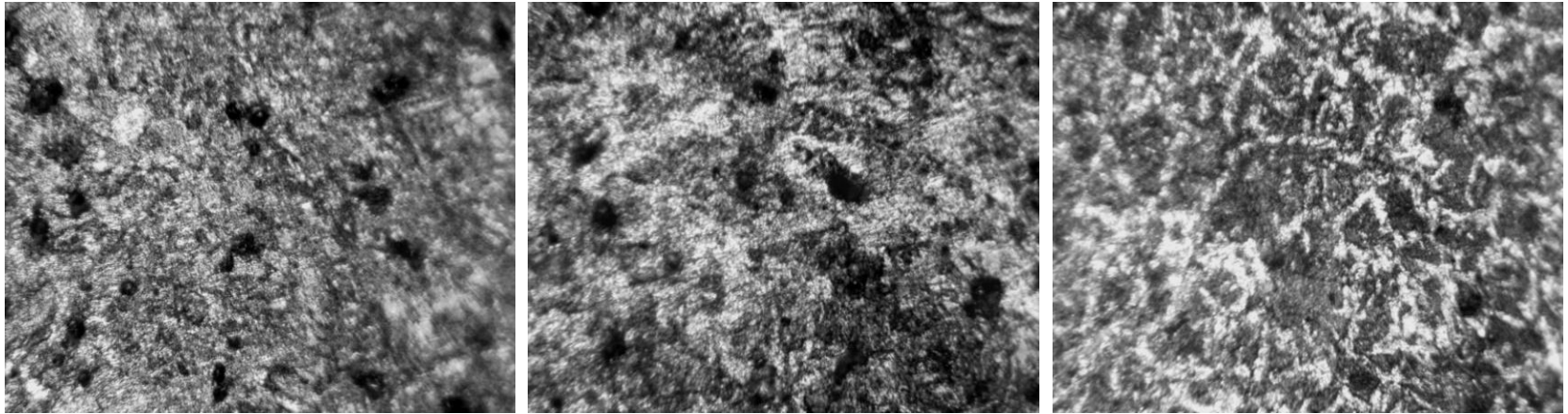
При вивченні за цією методикою здатності до деформаційного зміцнення наплавленого металу з високим вмістом хрому встановлено, що значення максимальної твердості в лунці відбитку практично збігається після другого вдавлення (табл.3).

Таблиця 3 – Ступінь зміцнення матеріалів

Матеріал електорду	Твердість HRC ₃₀	Зміцнення після вдавлень:			Δ, %	Макс. твердість, HRC ₃₀
		1	2	3		
ЦЛ-11 ГОСТ2246-70	$\frac{22-24}{23}$	$\frac{39-41}{40}$	$\frac{48-53}{51}$	$\frac{48-53}{51}$	121,7	53
АНО-36 (Е 46) ГОСТ 9466	$\frac{15-18}{16}$	$\frac{18-21}{20}$	$\frac{23-26}{25}$	$\frac{33-35}{34}$	118,8	35

• За результатами проведених досліджень отримали залежність твердості наплавленого шару від кількості вдавлень індентора Бринеля, а відповідно від степені деформації наплавленого шару



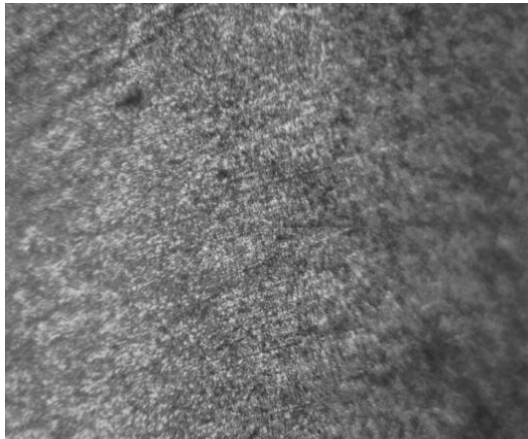


а

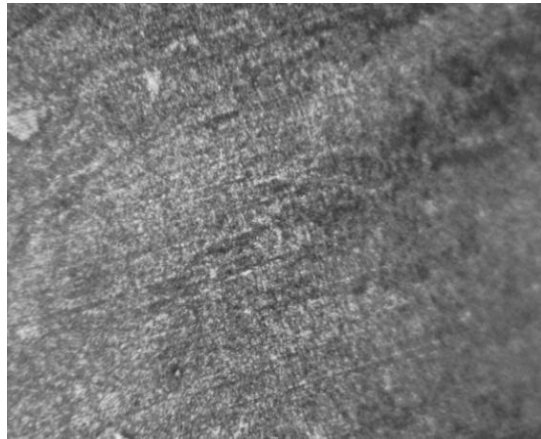
б

в

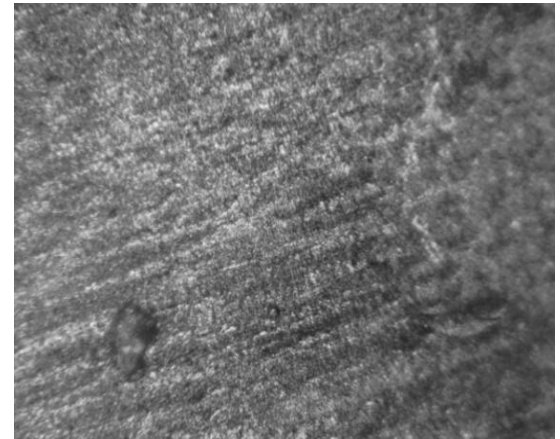
Мікроструктура наплавленого шару електродом АНО-36 після контактного навантаження (x500)
а – одне вдавлювання; б – два вдавлювання; в – три вдавлювання



а



б



в

Мікроструктура наплавленого шару електродом ЦЛ-11 після контактного навантаження (x500)

а – одне вдавлювання; б – два вдавлювання; в – три вдавлювання

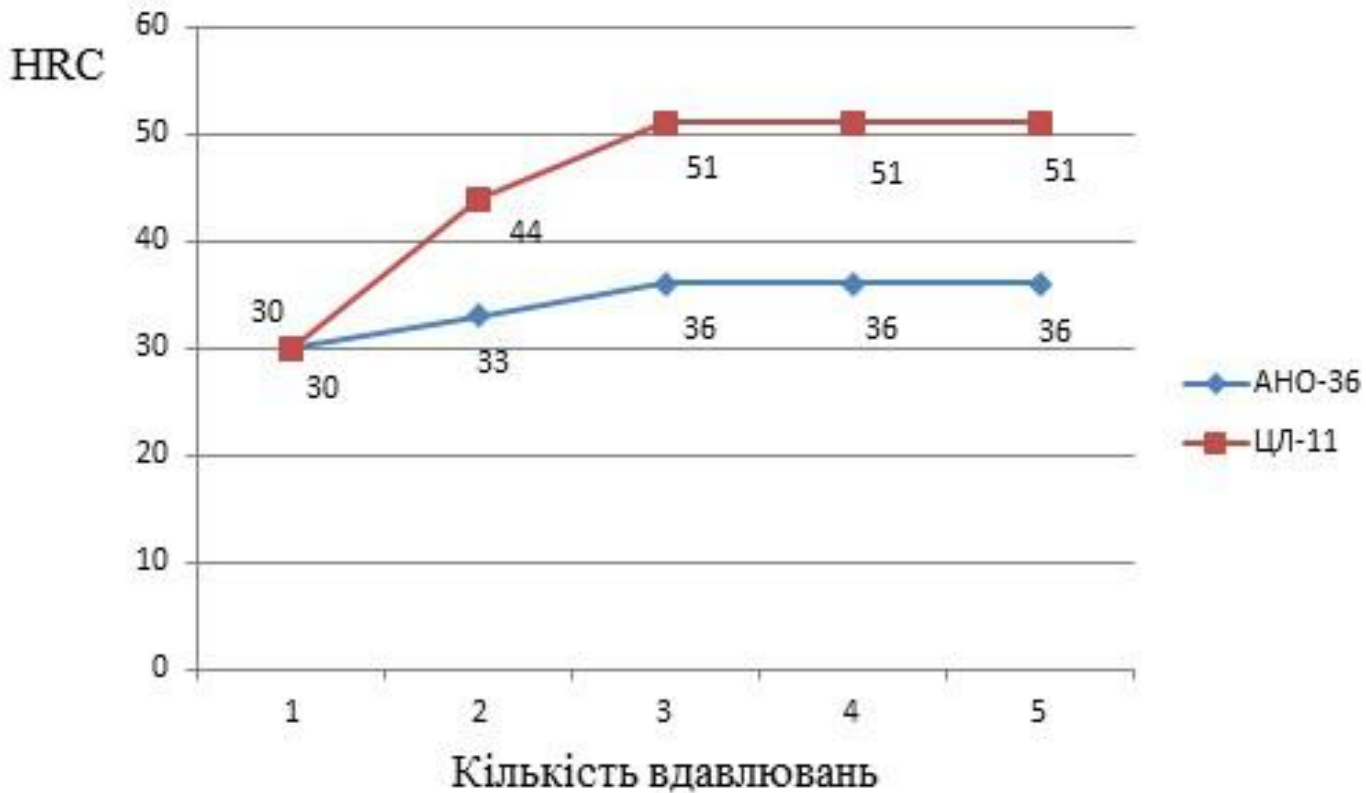
Дослідження впливу термічної обробки на показники твердості та зміни мікроструктури

Після деформаційного зміцнення наплавленої поверхні проведено гартування з наступним відпуском зразків. По закінченні термічної обробки провели діаметричні виміри твердості поверхневого шару.

Термічна обробка проведена за наступними режимами:

- гартування: температура нагрівання 800°C ;
- відпуск: температура нагрівання 500°C , час витримки 30 хвилин.

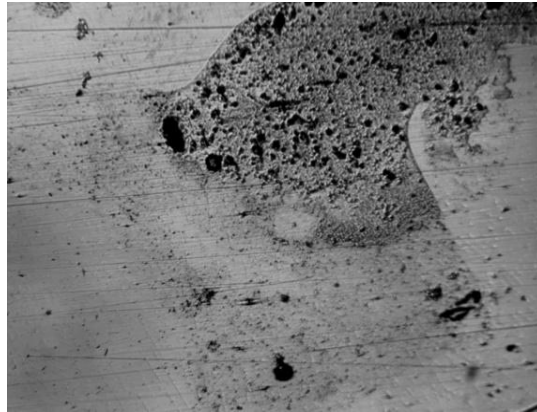
Результати досліджень наведені на рисунку



Залежність твердості наплавленого шару від кількості вдавлень індентора після термічної обробки



а



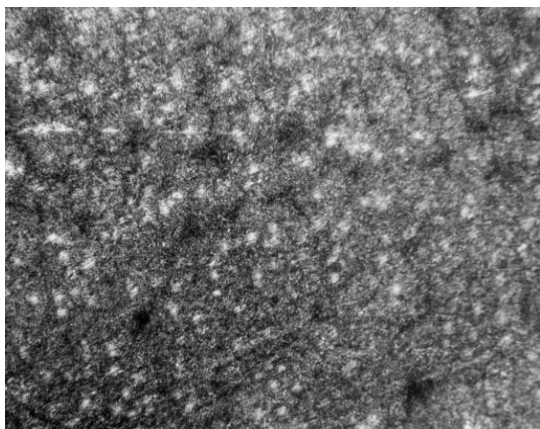
б



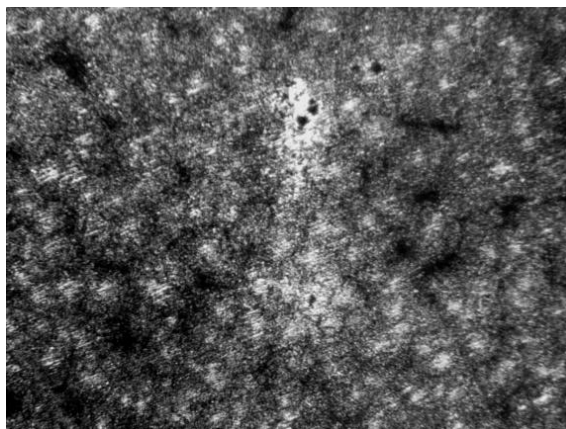
в

Мікроструктура наплавленого шару електродом АНО-36 після контактного навантаження та термічної обробки (x500)

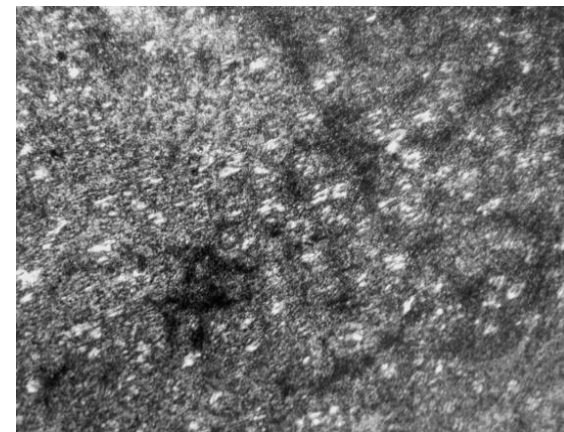
а – одне вдавлювання; б – два вдавлювання; в – три вдавлювання



а



б

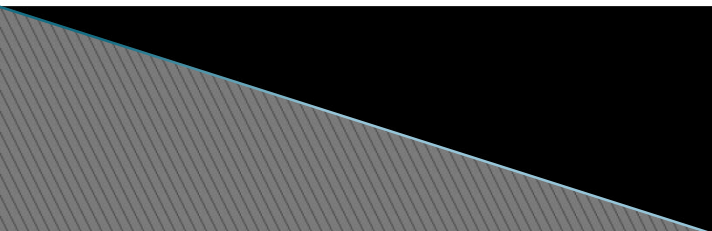


в

Мікроструктура наплавленого шару електродом
ЦЛ-11 після контактного навантаження та
термічної обробки (x500)

а – одне вдавлювання; б – два вдавлювання; в – три
вдавлювання

Деформаційно зміцнені та загартовані зразки нагрівали до температури 500...550°C (високий відпуск), чим забезпечили отримання структури перліту відпуску. Мікроструктурні перетворення в процесі термічної обробки призвели до появи сферичної форми легованого перліту у феритній матриці. Відбулася зміна форми структурних складових під дією термічної обробки з пластинчастої форми перліту на зернистий перліт, і майже повністю зняті залишкові напруження, що виникли при гартуванні та наплавленні з деформаційним зміцненням.



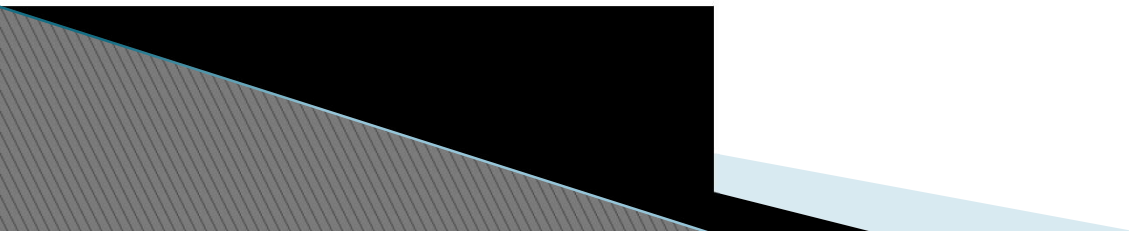
Наукова новизна одержаних досліджень

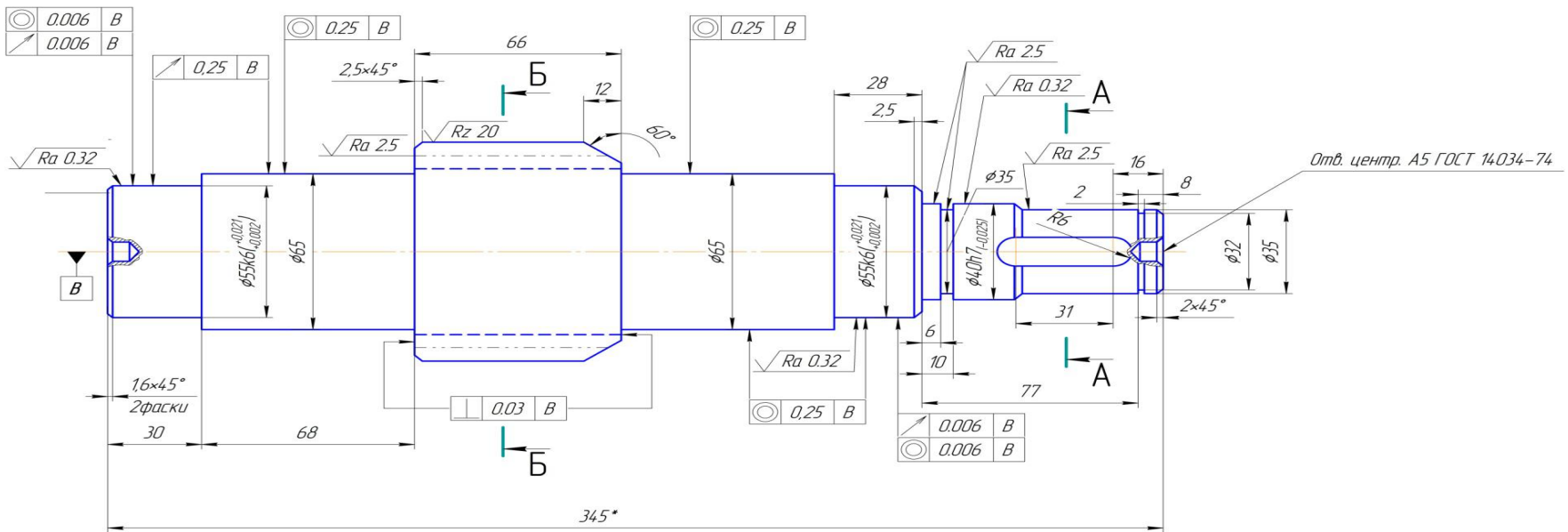
- } Встановлено, що в результаті фазових змін під впливом контактних навантажень у наплавленому металі, з утворенням мартенситу деформації, відбувається ефективне зміцнення його основи.
- } Показано, що при контактному зміцненні висока твердість поверхні може бути досягнута не тільки за рахунок легування наплавленого металу карбідоутворюючими елементами, але і за рахунок розвитку деформаційного перетворення.
- } Показано позитивний вплив термічної обробки на структурні перетворення в поверхневих шарах, що призвело до появи сферичної форми легованого перліту у феритній матриці.
- } Запропоновано діагностичний математичний апарат планування багатофакторного експерименту та отримано адекватну регресійну модель в якій обрані фактори, зі збільшенням в інтервалі досліджень, впливають на зносостійкість покриттів

Практичне значення одержаних результатів

- } Автором при наплавленні шару металу з визначеним вмістом легуючих елементів показана наявність фазових змін під впливом контактних навантажень з утворенням мартенситу деформації, а поєднання наклепу з деформаційним перетворенням ефективно зміцнює його основу.
- } Автором показано позитивний вплив термічної обробки на структурні перетворення в поверхневих шарах, що призвело до появи сферичної форми легованого перліту у феритній матриці, який позитивно впливає на зносостійкість та експлуатаційні властивості деталей
- } Проведено аналіз міцності установки для автоматизації процесу нанесення покриття з використанням програми міцносного аналізу АРМ FEM для КОМПАС-3D, згідно якому результати показали її надійність.

} РОЗРОБКА ТА ОБГРУНТУВАННЯ ПАРАМЕТРІВ
ТЕХНОЛОГІЧНОГО
ПРОЦЕСУ ВІДНОВЛЕННЯ ВАЛ-ШЕСТЕРЕНІ





Б-Б (1:1)

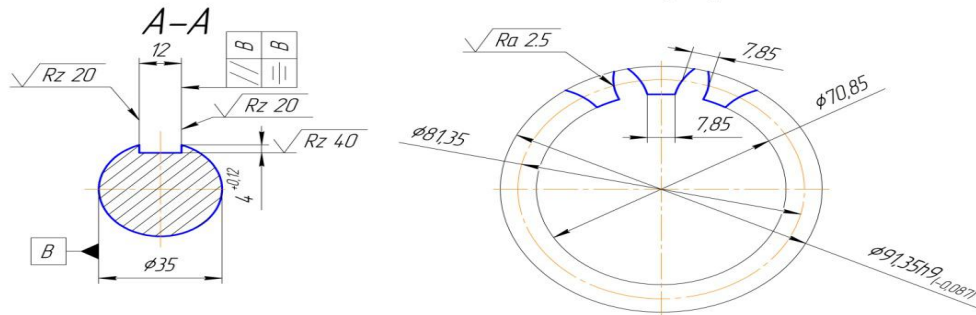


Рисунок 2 – Робоче креслення вал-шестерні

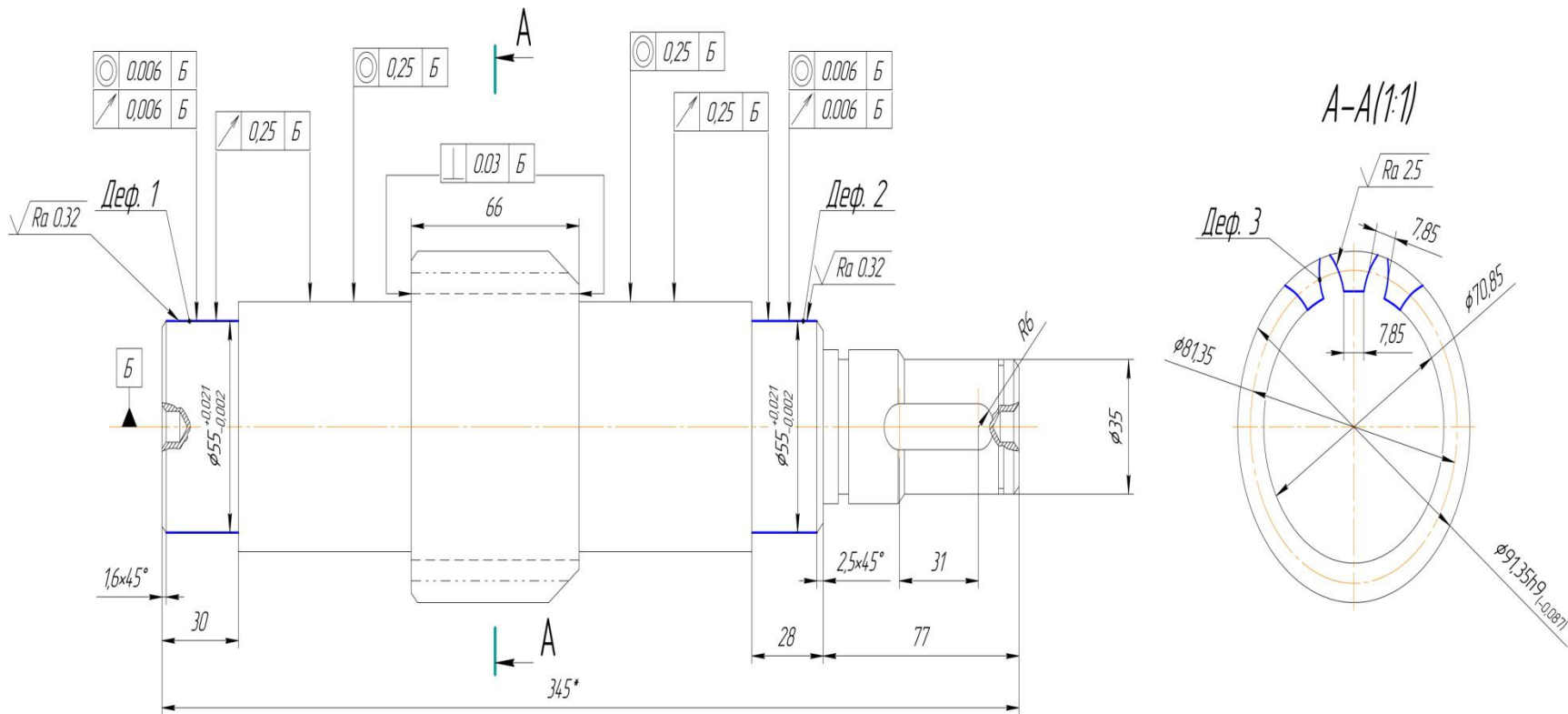
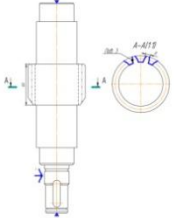
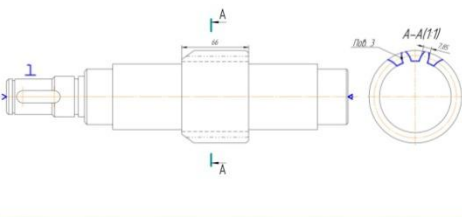
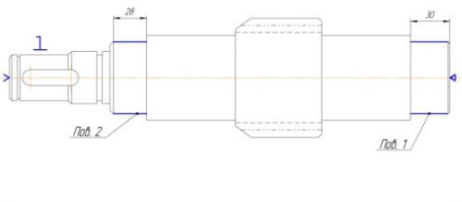
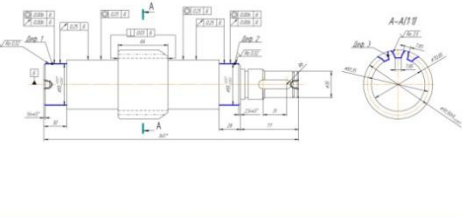


Рисунок 3 – Ремонтне креслення вал-шестерні

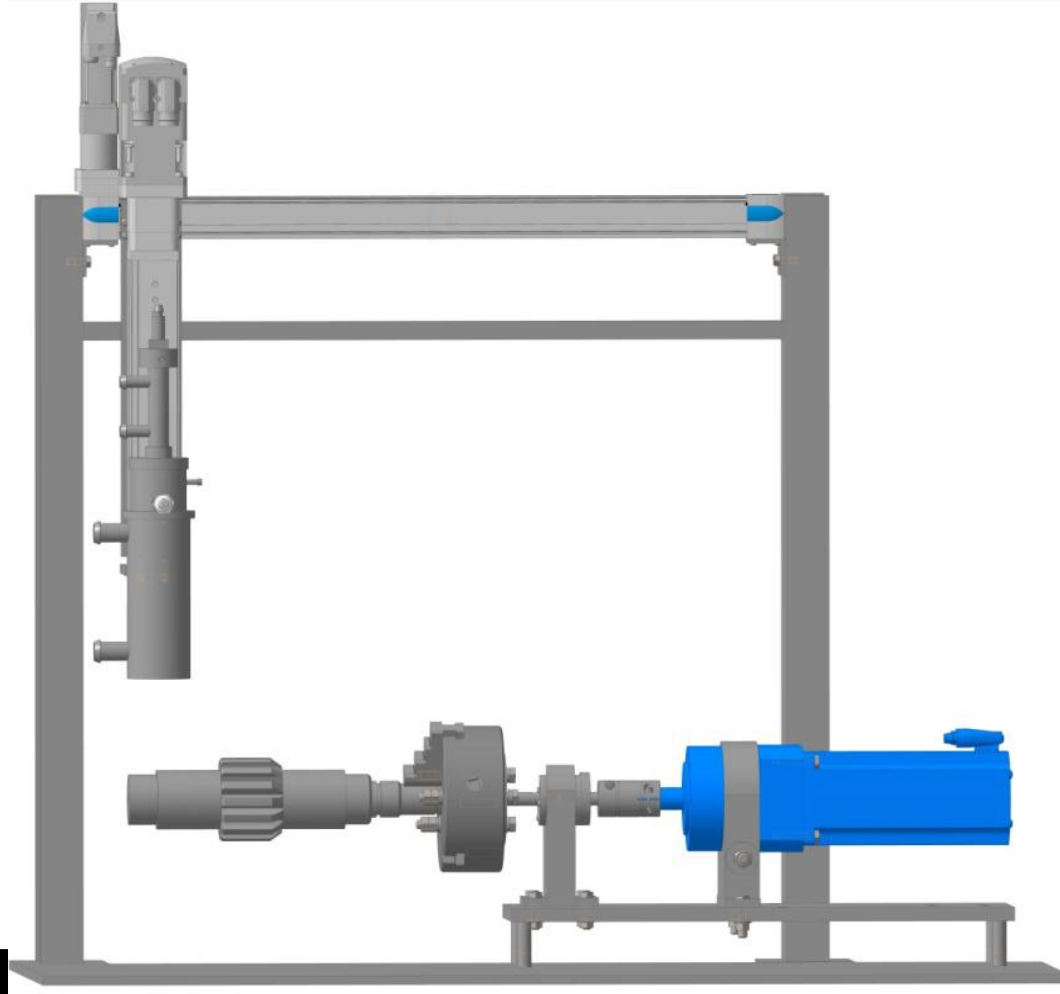
Рисунок 4 – Технологічний процес відновлення вал-шестерні

№	Найменування операції та технічні перекази	Схема установки	Обладнання
005	Мийна 1. Установити та зняти деталь. 2. Мити деталь розчином "Лаванд".		Струменюва-камерна машина ДН-4610
010	Дефектування 1. Дефектувати деталь та визначити всі дефекти, які потребують відновлення.		1 Контрольний стан 2 Мікрометр МН-75 ГОСТ 64381-80 по діаметру 23600-А8 ГОСТ 4444-81
015	Термічна обробка 1. Відпуск зубів 3		1 Індукційна пач ВЧГ-3-160/0,066 2 Ємність з маслом
020	Додбавляча 1. Встановити та закрити деталь. 2. Додбавляча зубів 3 по ширині до розмірів за кресленням. 3. Зняти деталь.		Зубододбавлячий верстат 5122
025	Напалювальна 1. Встановити та закрити деталь. 2. Напалювач зубів 3 по ширині до розмірів за кресленням. 3. Зняти деталь.		Установка для напалювання ШД-209М
030	Термічна обробка 1. Відпуск зубів 3		1 Індукційна пач ВЧГ-3-160/0,066 2 Ємність з маслом
035	Пробний прес 1. Встановити та закрити деталь. 2. Пробний прес. 3. Зняти деталь.		Пробний прес
040	Токарна 1. Встановити та закрити деталь. 2. Точити пів. 1 в розмір $\varnothing 54_{-0,03}^{+0,03}$ мм завісно ескізу. 3. Точити пів. 2 в розмір $\varnothing 54_{-0,03}^{+0,03}$ мм завісно ескізу. 4. Зняти деталь.		Токарно-шліфувальний верстат 16К20
045	Напалювальна 1. Встановити та закрити деталь. 2. Напалити пів. 1 в розмір $\varnothing 56,2$ мм. 3. Напалити пів. 2 в розмір $\varnothing 56,2$ мм. 4. Зняти деталь.		Установка для напалювання УМТ-6

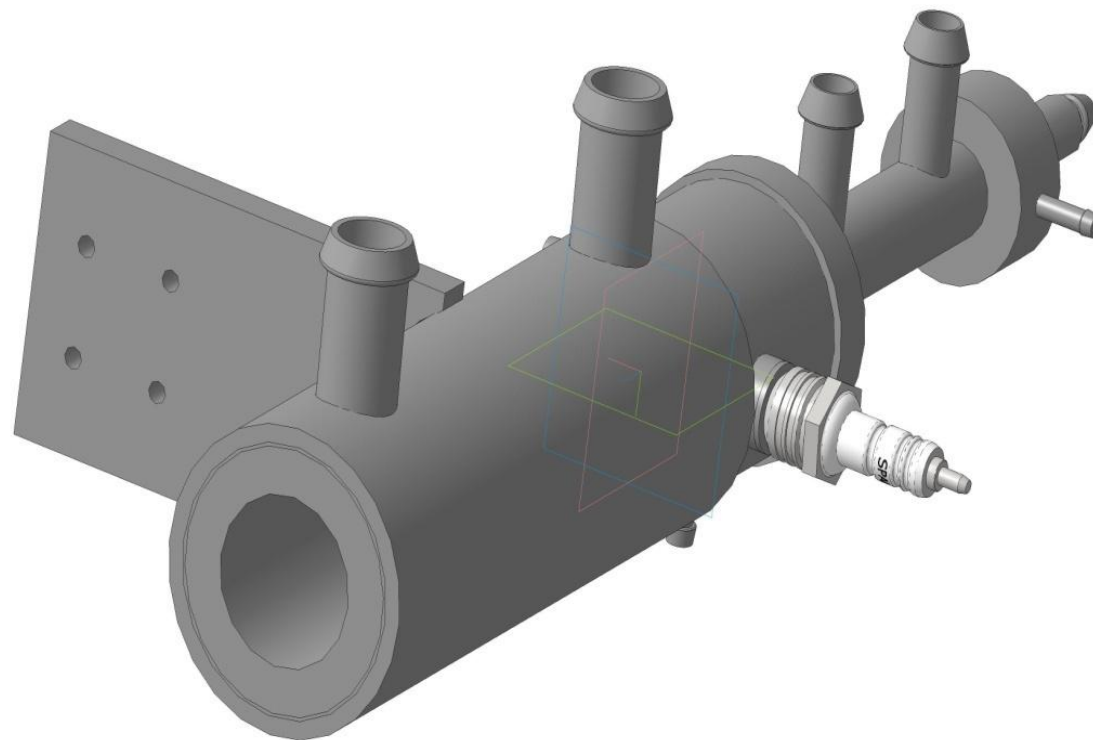
Технологічний процес відновлення вал-шестерні (продовження)

№	Називлення операції та технічних переказів	Схема установки	Обладнання
050	<p><i>Додатково</i></p> <ol style="list-style-type: none"> 1. Встановити та закрити деталь; 2. Додати зуби 3 по ширині до розмірів за кресленням; 3. Зняти деталь. 		Зубодобувальний верстат 5122
055	<p><i>Термічна обробка</i></p> <ol style="list-style-type: none"> 1. Гартування зубів 3 		<ol style="list-style-type: none"> 1. Індукційна пін ВГЧ-3-160/0,066 2. Ємність з водою
060	<p><i>Мийка</i></p> <ol style="list-style-type: none"> 1. Встановити та зняти деталь; 2. Мити деталь розчином "Лабона". 		Спруменедо-качерна машина ОН-4610
065	<p><i>Шліфування</i></p> <ol style="list-style-type: none"> 1. Встановити та закрити деталь; 2. Шліфувати зуби 3 по ширині до розмірів за кресленням; 3. Зняти деталь. 		Шліфувальний верстат 5А814
070	<p><i>Шліфування (чорнова)</i></p> <ol style="list-style-type: none"> 1. Встановити та закрити деталь; 2. Шліфувати поверхню 1 до розміру $\varnothing 55,17$ мм; 3. Шліфувати поверхню 2 до розміру $\varnothing 55,17$ мм; <p><i>Шліфування (чистова)</i></p> <ol style="list-style-type: none"> 4. Шліфувати поверхню 1 до розміру $\varnothing 55,16$ мм; 5. Шліфувати поверхню 2 до розміру $\varnothing 55,16$ мм; 6. Зняти деталь. 		Круглошліфувальний верстат 3М151
075	<p><i>Контрольна</i></p> <ol style="list-style-type: none"> 1. Встановити деталь; 2. Контролювати розмір пов. 1 до розміру $\varnothing 55,16$ мм; 3. Контролювати розмір пов. 2 до розміру $\varnothing 55,16$ мм; 4. Контролювати розмір пов. 3 до розміру $\varnothing 70,85$ мм; 5. Зняти деталь. 		Контрольний стіл, інструмент для вимірювання (вікрометр, штангенциркуль, зубомір)

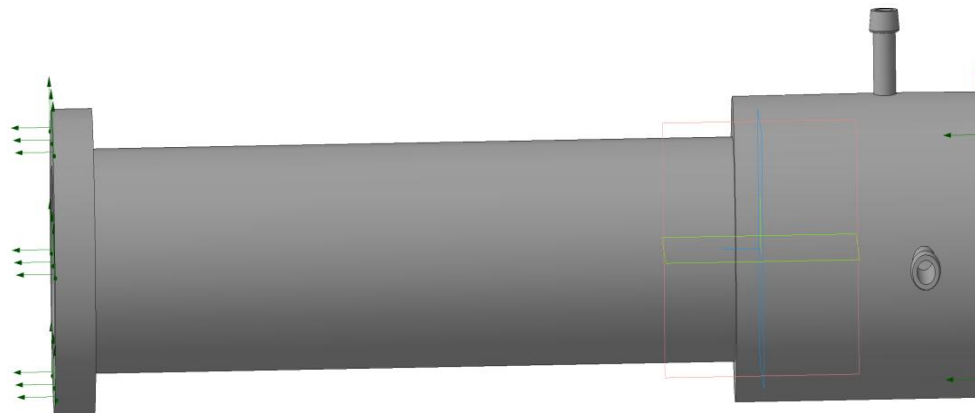
Розробка установки з числовим програмним керуванням



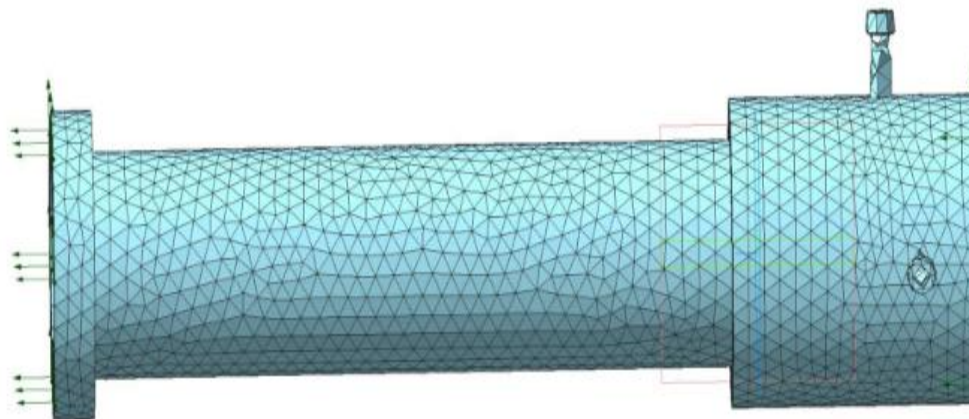
Розробка газополуменевого напилювального пристрою



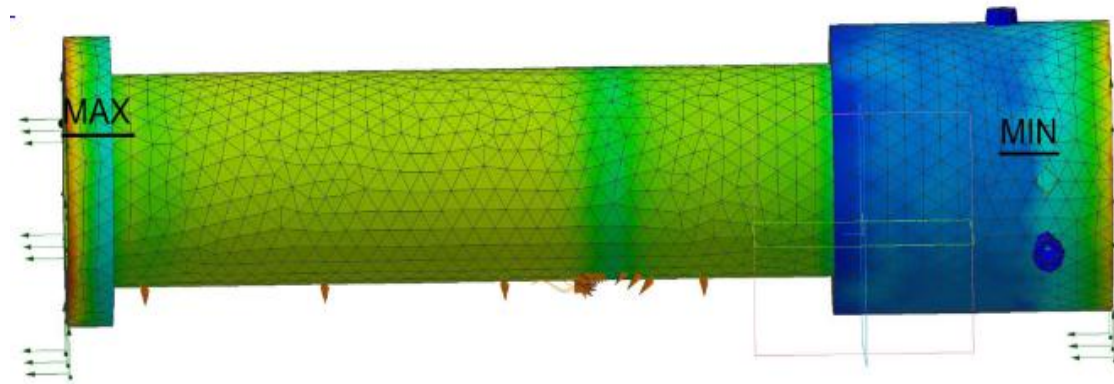
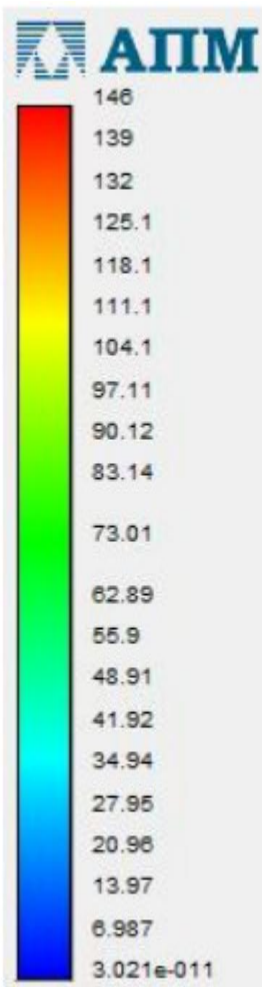
Комп'ютерний аналіз міцності напилувального пристрою



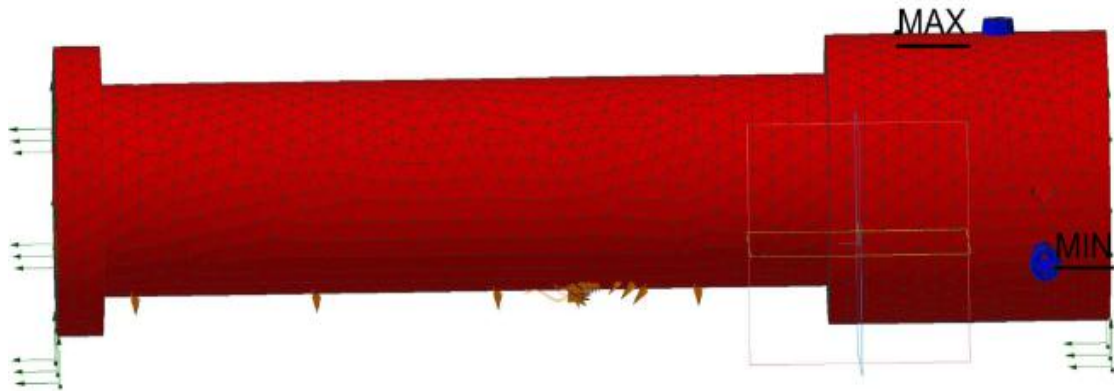
Основна камера згоряння



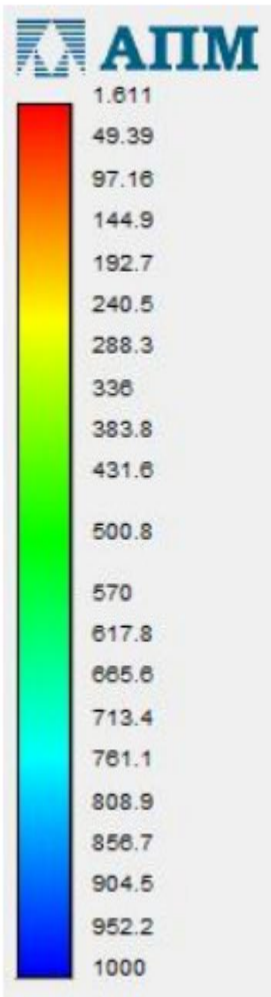
Сітка кінцевих елементів



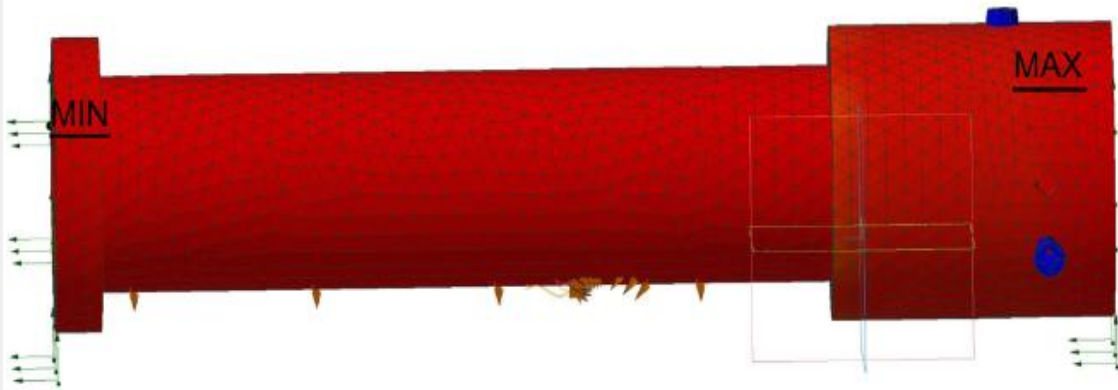
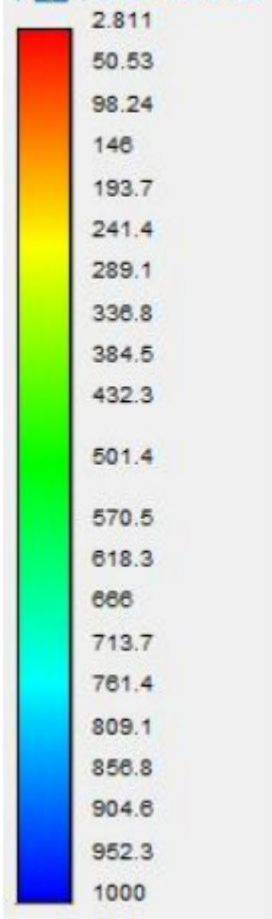
Напряга по Мізесу



Сумарне лінійне переміщення



Коефіцієнт запасу текучості



Коефіцієнт запасу міцності

ВИСНОВКИ

1. Проведення повного багатofакторного експерименту сплановане в інтервалі допустимих значень трьох факторів: матеріал вал-шестерні; швидкість обертання вал-шестерні і стан поверхонь. Аналіз отриманої моделі показав, що всі обрані фактори, зі збільшенням в інтервалі досліджень, впливають на зносостійкість покриттів в сторону її підвищення, оскільки коефіцієнти в рівнянні регресії, яке моделює процес зношування, від'ємні.
2. Експериментально показана наявність фазових змін під впливом контактних навантажень у наплавленому металі, з утворенням мартенситу деформації. Поєднання наклепу з деформаційним перетворенням ефективно зміцнює його основу. При цьому твердість наплавленого металу електродом АНО-36 після 25 % деформації складає 33 -35 HRC₉, у той час як для наплавленої поверхні електродом ЦЛ-11 тільки 22 – 24 HRC₉.
3. При дослідженні деформаційного зміцнення висока твердість поверхні може бути досягнута не тільки за рахунок легування наплавленого металу карбідоутворюючими елементами, але і за рахунок розвитку пластичного деформування.

4. Показано позитивний вплив термічної обробки на структурні перетворення в поверхневих шарах, що призвело до появи сферичної форми легованого перліту у феритній матриці та підвищення твердості, що позитивно впливає на зносостійкість та експлуатаційні властивості деталей.

5. Результати комп'ютерного моделювання конструкції установки, створеної на основі вузлів фірми FESTO, показали що коефіцієнт запасу міцності за текучістю становить 183, що свідчить про надійну будову конструкції.

6. Технологічний процес відповідає умовам охорони праці. Для забезпечення чистоти повітря і нормалізації параметрів мікроклімату повинна бути передбачено місцевий щільний газовловлювач «ВЦНИИОТ».

7. Впровадження модернізованого технологічного процесу потребує від інвестора 214568,58 грн. капітальних вкладень. Прибуток за рік виробника складе 2786729,29 грн.

8. При оцінці ефективності інноваційного проекту отримані такі важливих показників, як:

- чистий дисконтований дохід (інтегральний ефект) 5655625,05 грн.;
- внутрішня норма дохідності (прибутковості) 30%;
- термін окупності 0,173 року.

...ть про високий рівень дохідності для інвестора і підтверджують впровадження технологічного процесу відновлення деталей «...естерні».

Дякую за увагу!!!